

珠江广州市段 PFU 原生动物群落特征及其与水质的关系

徐润林¹, 白庆笙¹, 谢瑞文²

(1. 中山大学生命科学学院, 广州 510275; 2. 广州市环境科学研究所, 广州)

摘要:采用国家标准《水质微型生物群落监测——PFU 法》,对珠江广州市段的原生动物群落进行了群落组成和群集过程的研究。共观察到各类原生动物 203 种。其中植物性鞭毛虫 44 种;动物性鞭毛虫 64 种;肉足虫 17 种和 78 种纤毛虫。分析了原生动物群落在该河段的组成特点,以及它们与水质变化的关系。结果显示:原生动物群落特征的变化与水质变化相吻合,珠江在流经广州市区后,水质发生了明显地恶化,原生动物群落受到破坏;经过一个较长的流程,水质得到了一定程度的改善,原生动物群落也有所恢复。

关键词:珠江;PFU 原生动物群落;水质

PF Unit Protozoan Community Characteristics and the Relation with the Water Quality in the Guangzhou Reach of the Pearl River

XU Run-Lin¹, BAI Qing-Sheng¹, XIE Rui-Wen² (1. Life Science School, Zhongshan University, Guangzhou 510275, China; 2. Guangzhou Institute of Environmental Sciences). *Acta Ecologica Sinica*, 2002, 22(4): 479~485.

Abstract: Using the national standard of China, "Water quality—microbial community biomonitoring—PFU method", the protozoan community structures and their colonization procedures were investigated and the characteristics of PFU protozoan communities in the Guangzhou Reach of Pearl River were analyzed. Total 203 species of protozoa, including 44 phytoflagelates, 64 zooflagelates, 17 sarcodina and 78 ciliates, have been found during the investigation. Compared with the references, the features of protozoan communities in the Guangzhou Reach of Pearl River are: more zooflagelates, less phtoflagelates, and more ciliates and less sarcodina. The species compositions of PFU protozoan communities on different spots are disparity. Considered in the species composition, the most species number of PFU protozoan communities was found the spot of Dunjitou. On the hand, the species number from the spot of Liede was less. On the most spots, the PFU protozoan communities reached their the most values in the species numbers after 1 day exposed in the water, and then the species number decreased their species number with the exposed time increase. Compared with the data of water qualities, it has showed that the colonization speed on the spots with high water quality is lower, and it will take long time to reach the dynamic balance in colonization, but on the spots with lower water qualities, especially in eutrophication, the community colonization speed was faster and will take shorter time to reach it. The results showed that the PFU protozoan community have been damaged in the structures and function with the water quality worsen, when the river passes through Guangzhou City. After a long distance, with the decrease of pollutant concentrations in the water and the self-purification of the ecosystem, the protozoan community has

基金项目:国家自然科学基金重点资助项目(39730070);国家自然科学基金资助项目(39770144);淡水生态与生物技术国家重点实验室开放基金资助项目;教育部高校骨干教师资助项目

收稿日期:2001-05-10

作者简介:徐润林(1960~),男,江苏人,博士,教授。主要从事动物生态学和水生生物学研究。

been restorated in.

Key words: the Pearl River; PFU Protozoan community; water quality

文章编号:1000-0933(2002)04-0479-07 中图分类号:S181 文献标识码:A

珠江是3条干流——西江、东江和北江的统称。东江起源于江西省和粤东山区,全长562 km;西江起源于云南省东部沾益县,全长2194 km;北江起源于湖南省的浈江与武江在广东省韶关合流而成,全长573 km。这3支干流并非完全汇合,只是进入到广州及周边地区后由众多的汊流形成了复杂的珠江三角洲水系。从干流的长度算,珠江是中国第五大河,但其流量排列第二位。由于珠江水系组成上的特殊性,各干流上游的地理、地质及气候条件差异极大,因而珠江水系的环境比较复杂。20世纪50年代,珠江干流的水质良好,在广州市区河段,多种鱼类生活在水中;人们可以畅快地在河中游泳。但近20年来,随着珠江三角洲地区经济的高速发展,大量的工业污染物被排放到珠江中。加上沿岸各地人口密度的增加,生活污水、生活垃圾也被排放或倾倒进入珠江。结果导致了珠江水质的明显恶化。在广州市区河段,河面上时常漂浮着垃圾、油污;河水已变黑、变臭。河水中已多年不见有较大型的水生动物踪迹。在珠江流经的绝大部分城市河段中水质只能达Ⅳ级或Ⅴ级标准。

作为浮游动物的重要组成部分之一,水体中的原生动物不仅具有较高的物种多样性,而且在水生态系统的物质循环和能量流中起着不可替代的作用^[1~3]。同时,原生动物作为环境变化的指示生物以及它们在生态毒理学和毒理学模型等方面的意义也得到了学术界的关注^[4~7]。原生动物生态学研究方法学上,除了参考浮游动物生态学的手段外,应用人工基质采集并分析原生动物在该类基质上的群集过程,可以获得较一般实验手段更多的信息^[8~11]。

对于珠江水系中的原生动物分布状况,国内一直没有系统地调查和研究过,尽管有很多量的文献报道^[12~14],但对于珠江水系中的原生动物群落结构特征以及它们与相应的生活环境间的相互关系了解的极少。本文采用聚氨酯泡沫塑料块法(Polyurethane Foam Unit, PFU),采集珠江广州市段不同断面的原生动物群落,鉴定、分析了各断面群落的组成和它们的群集过程,并结合同步的水质状况,探讨了该河段原生动物群落的特点,并以此来监测评价珠江广州段的水质状况,为珠江水污染的综合治理提供依据。

1 材料与方法

1.1 采样点设置

本研究共设5个采样点(图1)。雅岗点位于广州市饮用水源流溪河与珠江汇合后的下游;黄沙点位于珠江进入广州市区的干流上;猎德点位于珠江流经广州市区的后河道。从黄沙点到猎德点,是广州市区人口极为稠密的地区,这里有众多的生活小区、餐饮业店铺和轻工企业;东朗点位于珠江广州市段的前河道,周围为重工业和大型企业所在地。墩头基点位于珠江广州市段前后河道重新汇合后的下游,从这里,珠江将通过虎门进入南海。

1.2 原生动物群落样品的采集

按照国家标准《水质微型生物群落监测——PFU法》(GB/T 12990-91),在每个采样点设置一组原生动物群落群集所需的聚氨酯泡沫塑料块;每个PFU块的大小为实验所用的PFU的体积为5 cm×6 cm×6 cm。PFU块的放置、收集以及原生动物样品的观察、计数等均参照此国家标准。为了更准确地鉴定样品中的原生动物特别是纤毛虫种类,分别对每一份样品进行了蛋白银染色(Protargol staining)。原生动物的种类鉴定依据文献^[15~18]的描述。原生动物的分类采用Levine等的系统^[19]。

1.3 水质状况分析

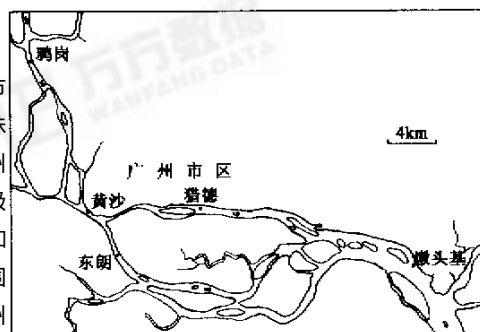


图1 珠江广州市段及采样点示意图

Fig. 1 A sketch map of the Guangzhou Reach and the sampling sites in the Pearl River

在放置人工基质的同时,用采水器在各样点采集江水。按照水质评价和监测标准对水中各种理化指标进行分析。

2 结果

2.1 各采样点的水质状况见表 1

2.2 珠江广州市段原生动物群落的组成

在整个实验过程中,共观察到各类原生动物 203 种。其中植物性鞭毛虫 44 种;动物性鞭毛虫 64 种;肉足虫 17 种和 78 种纤毛虫(表 2)。

不同样点出现的原生动物的种类数有较大的差异,同时营自养的植物性鞭毛虫在各样点中所占的总种类数的百分比率(%)也有所不同,以雅岗和东朗为最高;猎德最低(图 2, 图 3)。

2.3 珠江广州市段原生动物群落在各采样点的 PFU 原生动物群集过程

各采样点原生动物群落的群集过程见图 4。从图中可以看出:在多数采样点,PFU 块暴露在水中 1d 后,原生动物群落就基本上达到了它们群落组成种类数的最大值;随着暴露时间的延长,原生动物群落的种类数开始下降。

表 2 珠江广州市段中的原生动物名录

Table 2 Species list of protozoan found in PF unit protozoan communities of Guangzhou Reach in Pearl River

	纺锤鳞孔虫	卵形波豆虫
植物性鞭毛虫	<i>Lepocinclus fusiiformis</i>	<i>B. ovatus</i>
弯曲变胞藻	伪编织鳞孔虫	<i>B. parvus</i>
尾变胞藻	<i>L. pseudotexta</i>	腐波豆虫
小型变胞藻	弦月虫	<i>B. putrinus</i>
卵形衣滴虫	<i>Menoidium pellucidum</i>	鼻波豆虫
未定衣滴虫	尖尾扁裸藻	<i>B. rostratus</i>
具孔衣滴虫	<i>Phacus acuminatus</i>	三角波豆虫
伪新月衣滴虫	奇形扁裸藻	<i>B. triangularis</i>
莱哈衣滴虫	<i>P. anomalus</i>	钩刺波豆虫
星芒衣滴虫	宽扁裸藻	<i>B. uncinatus</i>
凡尔登堡衣滴虫	<i>P. longicaudus</i>	可变波豆虫
囊状柄裸虫	梭形扁裸藻	<i>B. variabilis</i>
啮齿隐藻	<i>P. luciae</i>	活泼尾滴虫
卵形隐藻	圆形扁裸藻	<i>Cercomonas agilis</i>
可变形异形虫	<i>P. orbicularis</i>	长尾滴虫
沟内管虫	颤动扁裸藻	<i>C. longicauda</i>
梭形眼虫	<i>P. oscillans</i>	卵形尾滴虫
尾眼虫	扭曲扁裸藻	<i>C. ovatus</i>
衣眼虫	<i>P. tortus</i>	放射尾滴虫
棒形眼虫	素衣藻虫	<i>C. radiatus</i>
静眼虫	<i>Polytoma urella</i>	草履唇滴虫
带形眼虫	截头囊裸藻	<i>Chilomonas paramecium</i>
刺鱼状眼虫	<i>Trachelomonas abrupta</i>	三纤胶网虫
中型眼虫	细粒囊裸藻	<i>Collodictyon triciliatum</i>
光明眼虫	<i>T. granulosa</i>	孤生双领虫
易变眼虫	短圆囊裸藻	<i>Diplosiga francei</i>
近轴眼虫	动物性鞭毛虫	恩氏似双领虫
三星眼虫	<i>Zoomastigophora</i>	<i>Diplosigopsis entzii</i>
裸甲藻	葡萄异鞭虫	盘形异丝藻
短鞭卡克藻	<i>Aniosonema acinus</i>	<i>Heteronema discomorphum</i>
四分卡克藻	右旋异鞭虫	膨胀六鞭虫
	<i>A. dextiotaxum</i>	<i>Hexamita inflata</i>
	芽生杯鞭虫	极小六鞭虫
	<i>Bicoeca dinobryoidea</i>	<i>H. pusillus</i>
	聚杯鞭虫	卵形瓶双领虫
	<i>B. socialis</i>	<i>Lagenoeca ovata</i>
	阿氏波豆虫	蛞蝓鞭变虫
	<i>Bodo alexeieffii</i>	<i>Mastigamoeba limax</i>
	狭隘波豆虫	易变小鞭虫
	<i>B. angustus</i>	<i>Mastigella commutans</i>
	尾波豆虫	明亮小鞭虫
	<i>B. caudatus</i>	<i>M. vitrea</i>
	急游波豆虫	变形滴虫
	<i>B. celer</i>	<i>Monas amoebina</i>
	侧扁波豆虫	球状滴虫
	<i>B. compressus</i>	<i>M. arhabdomonas</i>
	克鲁氏波豆虫	丹氏滴虫
	<i>B. cruzi</i>	<i>M. dangeardii</i>
	梨波豆虫	延长滴虫
	<i>B. edax</i>	<i>M. elongata</i>
	纺锤波豆虫	小滴虫
	<i>B. fusiformis</i>	<i>M. minimus</i>
	球波豆虫	斜形滴虫
	<i>B. globosus</i>	<i>M. obliqua</i>
	软波豆虫	聚滴虫
	<i>B. lens</i>	<i>M. socialis</i>
	活跃波豆虫	窄长单领鞭虫
	<i>B. ludibundus</i>	<i>Monosiga angustata</i>
	易变波豆虫	简单猪球虫
	<i>B. mutabilis</i>	<i>Ochromonas simplex</i>

续表 2

侧屋滴虫 <i>Oikomonas obliqua</i>	有助 纤虫 <i>Aspidisca costata</i>	叶绿尖毛虫 <i>Oxytricha chlorelligera</i> 伪
聚屋滴虫 <i>O. socialis</i>	新态虫 <i>Caenomorph</i> sp.	尖毛虫 <i>O. fallax</i>
梨屋滴虫 <i>O. steinii</i>	僧帽斜管虫 <i>Chilodonella cucululus</i>	红质尖毛虫 <i>O. haematoplasma</i>
气球屋滴虫 <i>O. termo</i>	钩刺斜管虫 <i>C. uncinata</i>	苔藓尖毛虫 <i>Oxytrichia nuscorum</i>
粗袋鞭虫 <i>Peranema trichophorum</i>	珍珠映毛虫 <i>Cinetochilium</i>	腐生尖毛虫 <i>O. saprobia</i>
中纵沟 <i>Petalomonas mediocanellata</i>	<i>margaritaceum</i>	鬃尖毛虫 <i>O. setigera</i>
三棱沟滴虫 <i>P. steinii</i>	毛板壳虫 <i>Coleps hirtus</i>	双小核草履虫 <i>Paramecium aurelia</i>
噬淀粉叶虫 <i>Phylloimitus amylophagus</i>	前顶梳纤虫 <i>Ctedoctema</i>	尾草履虫 <i>P. caudatum</i>
跳侧滴虫 <i>Pleuromonas jaculans</i>	<i>acanthocrypta</i>	尾似瘦尾虫 <i>Paruroleptus caudatus</i>
细腰群杯鞭虫 <i>Poteriodendron petiolatum</i>	居中膜袋虫 <i>Cyclidium centrale</i>	冠帆口虫 <i>Pleuronema cornatum</i>
张口管领鞭虫 <i>Salpingoeca ringens</i>	爪形膜袋虫 <i>C. citrullus</i>	胶衣足管虫 <i>Podophrya maupasi</i>
团球领鞭虫 <i>Sphaeroeca volvox</i>	长形膜袋虫 <i>C. elongatum</i>	绿色前管虫 <i>Prorodon virides</i>
异斯鞭虫 <i>Stokesiella dissimilis</i>	银灰膜袋虫 <i>C. glaucoma</i>	斜短柱虫 <i>Rhabdostyla inclinans</i>
细斯鞭虫 <i>S. lepteca</i>	单一膜袋虫 <i>C. singulare</i>	小旋口虫 <i>Spirostomum minus</i>
压缩盾滴虫 <i>Thylacomonas compressa</i>	粘液蓝杯虫 <i>Cyrtolophosis mucicola</i>	带核喇叭虫 <i>Stentor roeselii</i>
活泼锥滴虫 <i>Trepomonas agilis</i>	双环栉毛虫 <i>Didinium nasutum</i>	鬃毛虫 <i>Stichotricha aculeata</i>
旋转锥滴虫 <i>T. rotans</i>	鹅颈领虫 <i>Dileptus anser</i>	绿急游虫 <i>Strombidium viride</i>
肉足虫 Sarcodina	蛹形歇口虫 <i>Enchelys pupa</i>	棘尾虫 <i>Styloynchia sinuatus</i>
针棘刺泡虫 <i>Acanthocystis aculeata</i>	瓶累枝虫 <i>Epistylis urceolata</i>	鬃棘尾虫 <i>S. pustulata</i>
放射太阳虫 <i>Actinophrys sol</i>	亲近游仆虫 <i>Euplates affinis</i>	膜状急纤虫 <i>Tachysoma pellionella</i>
轴丝光球虫 <i>Actinosphaerium eichhorni</i>	阔口游仆虫 <i>E. eurystomus</i>	梨形四膜虫 <i>Tetrahymena priformis</i>
珊瑚变形虫 <i>Amoeba gorgonia</i>	粘游仆虫 <i>E. musicola</i>	漫潢锤吸管虫 <i>Tokophrya infusionum</i>
弯凸表壳虫 <i>Arcella gibbosa</i>	九肋游仆虫 <i>E. novemcarinatus</i>	浮萍锤吸管虫 <i>T. lemnarum</i>
普通表壳虫 <i>A. vulgaris</i>	伍氏游仆虫 <i>E. woodruffi</i>	卑怯管叶虫 <i>Trachelophyllum pusillum</i>
近蝠蝠卡变虫 <i>Cashia limacoides</i>	尾突前口虫 <i>Frontonia atra</i>	扭曲管叶虫 <i>T. sigmoides</i>
旋匣壳虫 <i>Centropyxis acrophila</i>	膜状腹柱虫 <i>Gastronauta membranaceus</i>	累枝毛吸管虫 <i>Trichophrya epistylidis</i>
尖顶砂壳虫 <i>Difflugia acuminata</i>	近亲殖口虫 <i>Gonostomum affine</i>	旋尾缨虫 <i>Urocentrum turbo</i>
褐砂壳虫 <i>D. avellana</i>	大弹跳虫 <i>Halteria grandinella</i>	瘦尾虫 <i>Uroleptus gallina</i>
奇观盖氏虫 <i>Glaeseria mira</i>	肋半眉虫 <i>Hemiphrys pleurosigma</i>	肌瘦尾虫 <i>U. musculus</i>
福氏异胞虫 <i>Heterophrys fockei</i>	似织毛虫 <i>Histricalus similis</i>	暗尾丝虫 <i>Uronema nigricans</i>
宝石马氏虫 <i>Mayorella bifemmina</i>	纺锤全列虫 <i>Holosticha kessleri</i>	纵长片尾虫 <i>Urosoma cienkowskii</i>
后湖马氏虫 <i>M. hohuensis</i>	龙骨漫游虫 <i>Litonotus carinatus</i>	武装尾毛虫 <i>Urotricha armata</i>
扇形马氏虫 <i>M. penardi</i>	片状漫游虫 <i>L. fasciula</i>	趣尾毛虫 <i>U. farcta</i>
精巧针胞虫 <i>Raphidiocystis lemansi</i>	薄漫游虫 <i>L. lamella</i>	钟形钟虫 <i>Vorticella campanula</i>
绿刺日虫 <i>Raphidiophrys viridis</i>	蚤中缢虫 <i>Mesodinium pulex</i>	杯钟虫 <i>V. cupifera</i>
纤毛虫 Ciliophora	如意扭头虫 <i>Metopus es</i>	长钟虫 <i>V. elongata</i>
结节壳吸管虫 <i>Acineta tuberosa</i>	美扭头虫 <i>M. pulcher</i>	小口钟虫 <i>V. microstoma</i>
	单环栉毛虫 <i>Monodinium balbianii</i>	点钟虫 <i>V. picta</i>
	黄色睫杆虫 <i>Ophryoglena flava</i>	似钟虫 <i>V. similis</i>

3 讨论

原生动物由于种类多、丰度大，因而在水生生态系统的结构和功能方面起着重要的作用。同时由于它们为单细胞生物，对于环境的微小变化有着明显的反应，故在不同水体中原生动物的分布有着显著的差异，这种差异与水环境的关系非常密切。因此原生动物在不同水平上(亚细胞、细胞、种群和群落)被用于环境质量的评价和监测。

3.1 原生动物在珠江广州市段的分布特征

由于种种原因，到目前为止，人们对于华南第一大河珠江中的原生动物群落的组成尚无详细的报道。相比较而言，对于长江中的原生动物研究较多。在汉江——长江的一条重要支流中，已报道有 64 种动物性鞭毛虫、131 种植物性鞭毛虫、70 种肉足虫和 192 种纤毛虫^[20]；在长江干流三峡段，共发现了 176 中原生动物，其中动物性鞭毛虫 25 种、植物性鞭毛虫 64 种、肉足虫 19 种和 68 种纤毛虫^[21]。与长江干流三峡段相

比,珠江广州市段的原生动物种类较多(共 203 种),但组成上有一定的差异。表现为动物性鞭毛虫多、植物性鞭毛虫少;纤毛虫多、肉足虫少。

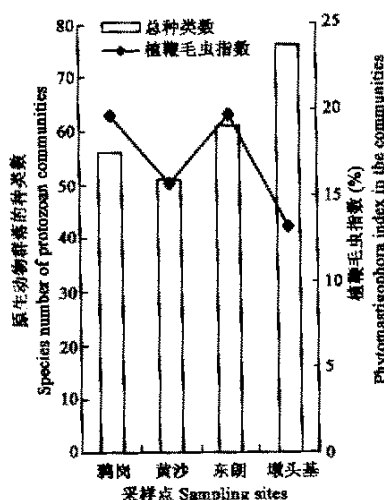


图 2 珠江广州市段前河道 PFU 原生动物群落的种类数以及植物性鞭毛虫指数

Fig. 2 Species numbers of PF unit protozoan communities and phytomastigophora index from the front riverway in Guangzhou Reach of the Pearl River

从种类组成的相似性看,分布在珠江中的大部分种类原生动物在其他两条大河中也有记载,但从群落的相似系数分析显示:

珠江广州市段的几个断面的原生动物群落组成之间也显示出有一定的差异。其差异不仅表现在组成群落的物种数,而且也表现在群落的种类组成。有学者认为,根据各种原生动物的食性,可将原生动物划分为六 大功能类群^[10~15]。根据这一理论划分,生活在珠江广州市段的原生动物多为耐污或食菌及碎屑种类,而自养或食藻种类较少。一般说来,营养盐含量较低或水质相对较好的水体中,自养或食藻的原生动物种类会在群落中占较大比例。从珠江广州市段的的几个采样点原生动物群落的组成看,从雅岗到猎德的后河道中,原生动物不仅在群落的组成数量上有明显地降低,而且植物性鞭毛虫和食藻的种类也在群落的比例上呈下降的趋势;在进入到下游的墩头基时,植物性鞭毛虫和食藻的种类也在群落的比例上又开始上升。原生动物群落的这种变化与相对应的水质状况变化是一致的,与水中 TN 和 TP 含量的变化相对应则更为明显(表 1)。水中 N 和 P 是生物生长的最重要的营养要

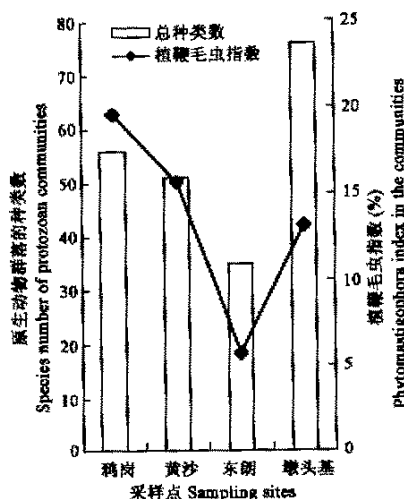


图 3 珠江广州市段后河道 PFU 原生动物群落的种类数以及植物鞭毛虫指数

Fig. 3 Species numbers of PF Unit protozoan communities and phytomastigophora index from the behind riverway in Guangzhou Reach of the Pearl River

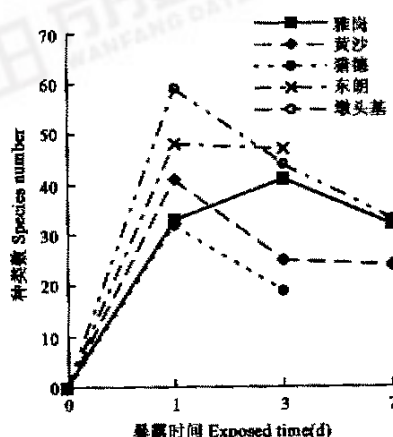


图 4 各采样点原生动物在 PFU 块中的群集过程

Fig. 4 Colonization procedures of protozoan into PF units in the sampling sites

素,是水生态系统中不可缺少的物质。但过量的N和P将导致水体的富营养化,因此水中的TN和TP的含量代表着水体有机污染的程度。比较珠江广州市段特别是后河道各采样点水质分析结果可以发现,大部分的理化指标差异不大,只有DO、TN、TN以及NH₄-N的变化,特别是在猎德的TP量变化较大。比较该点的N/P,其值是14.20;而其它地方的N/P都高于猎德(雅岗:62.625;黄沙:38.29;墩头基:26.85)。人们对水中营养物的研究表明,水中营养物的浓度,对于水质固然有很大作用,但当水中N/P接近16时,最容易引起水体的富营养化^[22]。其后果必然导致水中生物群落的结构趋于简单化,优势种的优势度非常明显。加上富营养化导致的水体中DO降低,厌氧菌的大量产生,为营厌氧的食菌原生动物的生长提供了基本条件。因此,可以认为:猎德段原生动物群落的种类数明显减少与该段水质恶化有着密切的关系。而猎德段水体污染严重是由于沿岸大量的未经处理的生活污水排放,导致了流经广州市区的河段污染加重的结果。随着污染物浓度的被稀释,加上水体自身的净化作用,到达墩头基后,水质也有了明显的改善,故原生动物群落在猎德段被严重损害的状况下又有所恢复,使得这里的原生动物群落在结构上又开始复杂化。

另外,同许多生物一样,原生动物也具有对于环境的最适范围。对于许多种类,它们常常出现在一定污染程度的水体中。因此根据这些种类出现的频率以及环境的状况,人们得出了每种原生动物的污染值(SPV),并通过计算可以算出群落的污染值(CPV)^[23]。该数值反映的是群落耐污种类的作用,数值越高说明水污染越严重。经过计算,珠江广州市段的PFU原生动物群落的污染值见图5。从图中可以看出,江水在进入市区和人口稠密地区之前,PFU原生动物群落的污染值较低;到猎德后污染值明显上升;进入下游后,污染值又有所下降。

3.2 PFU原生动物群落在珠江广州市段的群集特征

已有的文献表明,水体中原生动物群落在PFU中的群集过程受到多种因素的影响。最主要的因素就是原生动物群落结构组成的复杂程度和原生动物的丰度^[4~6,15,20]。一般说来,这种影响是通过导致PFU原生动物群落群集过程中群集在PFU块中的种类数以及达到群落种类数出现最大种类数的时间来反映的。而水体中原生动物的种类数和丰度又受到水环境的影响。因此,原生动物群落在PFU块上的群集过程也可以反映水环境的状况。

图4显示:除雅岗点水体中的原生动物群落向PFU块的群集达到群落中种类数的最大值的时间是PFU块暴露于水中的第3天外,其它各点的原生动物群落均在暴露后的第1天就已达到其种类数的最大值。同时,在整个实验中在墩头基观察到的原生动物种类最多,故这里的PFU原生动物群落也由最多的种类组成;相反地,猎德的原生动物群落中观察到的种类最少,PFU原生动物群落的种类组成也就最少。

对照水质结果和原生动物群落群集过程,可以发现的一个现象是:在水质较好的河段群集速率是相对较慢的。到达群落最大种类数的时间较长;而水质较差尤其是富营养化水体中,群集速率明显较快,达到群落最大种类数的时间较短。因此,在墩头基段,尽管原生动物群落的结构趋于复杂化,但群落的群集过程说明:虽然该处的原生动物群落开始恢复,但从群落的功能上讲,它还没有恢复到上游雅岗段的水平。

参考文献

万方数据

- [1] Fenchel T, *Ecology of Protozoa*, Science Technical, Madison, Wisconsin, 1987

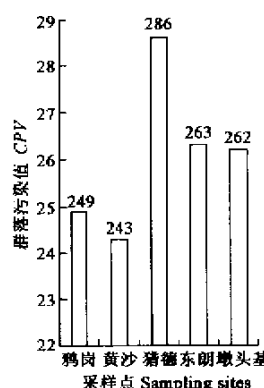


图5 珠江广州市段各样点PFU原生动物群落的污染值

Fig. 5 The community pollution values of PF unit protozoan communities from the reach in the Pearl River

- [2] Laybourn-Parry J. *Protozoan Plankton Ecology*. Chapman & Hall, 1992. 231.
- [3] Arndt H & U Berninger. Protists in aquatic food webs - complex interactions. In: G Brugerolle & J-P Mignot ed. *Protistological actualities*. Proceedings of the second European congress of protistology and eighth European conference on ciliate biology, Clermont-Fereand, France, 21~26 July, 1995. 224~232.
- [4] Cairns J Jr. Prospects for the continued development of environmentally-realistic toxicity tests using microorganisms. *J. Environ. Sci.*, 1993, **5**:253~268.
- [5] Cairns J Jr & McCormick P V. Protists as indicators of water quality in marine environment. In: *Handbook of Hazardous Materials*. Academic Press, 1993. 627~638.
- [6] Cairns J, Jr McCormick P V & Niederlehner B R. Estimating ecotoxicological risk and impact using indigenous aquatic microbial communities. *Hydrobiologia*, 1992, **237**: 131~145.
- [7] Piccinni E & Gutierrez J C. *Protists as bioindicators in the environment*. Protistological Actualities, 1995. 173~174.
- [8] Cairns J Jr. *Restoration of Aquatic Ecosystems*. National Academy Press, Washington, D. C., 1992.
- [9] Foissner W, Unterweger A and Henschel T. Comparison of direct stream bed and artificial substrate sampling of ciliates in a mesosaprobic river. *Limnologica*, 1992, **22**: 97~104.
- [10] Pratt J R & Cairns J Jr. Long-term patterns of protozoan colonization in Douglas Lake, Michigan. *J. Protozool.*, 1985, **32**: 95~99.
- [11] Shen Y F, Buikema A L Jr, Yongue W H, et al. Use of protozoan communities to predict environmental effects of pollutants. *J. Protozool.*, 1986, **32**: 146~151.
- [12] Ruan H B(阮惠板), Assessment of pollution in Guangzhou section of Pearl River using periphytic protozoan. *Acta Scientiarum Naturalium of Jinan University*(in Chinese)(暨南大学学报), 1981, **2**: 95~104.
- [13] Ruan H B(阮惠板), Ruan J C(阮建成), Zhao R N(赵汝浓), et al. The Pattern recognition for assessing water pollution by using periphitic protozoan communities. *Acta Scientiarum Naturalium of Jinan University*(in Chinese) (暨南大学学报), 1994, **15**: 105~112.
- [14] Bai Q S(白庆笙), Xu R L(徐润林), Xu X B(徐显波), et al. Study on the influences of the tides on the colonization of protozoan communities. *Acta Scientiarum Naturalium Universitatis Sunyatseni*(in Chinese)(中山大学学报), 1996, **35**: 99~102.
- [15] Shen Y F(沈韫芬), Zhang Z S(章宗涉), Gong X J(龚循矩), et al. *Modern Biomonitoring Techniques Using Freshwater Microbiota*(in Chinese). Beijing: China Architecture & Building Press, 1990.
- [16] Kahl A. Urtiere oder Protozoa. In: Dahl ed. *Die Tierwelt Deuschlands*. 1930~1935.
- [17] Ogden C G & Hedley R. *An Atlas of Freshwater Testate Amoebae*. Oxford University Press, London, 1980.
- [18] Foissner W, Blatterer H, Berger H, et al. *Taxonomische und kologische Revision der Ciliaten des Saprobienystems*. Band I~IV, Informationsberichte des Bayerischen Landesamtes fuer Wasserwirtschaft, Munich, 1991~1995.
- [19] Levine N D, Corliss J O, Cox F E G, et al. , A newly revised classification of the Protozoa. *J. Protozool.*, 1980, **27**: 37~58.
- [20] Shen Y F(沈韫芬), Feng W S(冯伟松), Gu M R(顾曼如), et al. *Monitoring of River Pollution*. China Architecture & Building Press, Beijing, 1994.
- [21] Gong X J(龚循矩), Xiao H Z(肖化忠), Shen Y F(沈韫芬), Study on the protozoan flora in Three Gorges of Changjiang River. *Acta Hydrobiologia*(in Chinese)(生物学报), 1990, **14**: 289~297.
- [22] Liu J K(刘健康). *Advance Hydrobiology*. Scientific Press, Beijing, 1998.